

Arch. Pharm. (Weinheim) 320, 1233–1238 (1987)

## Antiaggregatorische und anticoagulante Eigenschaften von Oligoaminen, 7. Mitt.: Benzol-1,3,5-trialkanamine

Klaus Rehse\*, Ute Lükens und Gudrun Claus

Institut für Pharmazie der Freien Universität Berlin, Königin-Luise-Str. 2+4, 1000 Berlin 33  
Eingegangen am 30. März 1987

Es wurden 17 Benzol-1,3,5-trialkanamine dargestellt, von denen 9 die durch Collagen induzierte Trombozytenaggregation in Konzentrationen zwischen 2–4 µmol/L halbmaximal hemmten. Die Gerinnungsfähigkeit von Blutplasma – dargestellt als Verlängerung der Thromboplastinzeit – wurde von 7 Substanzen in Konzentrationen von ≤ 50 µmol/L auf weniger als 25 % der Norm herabgesetzt. Die Substanz 4-(2-Thienylbutyl)-1,3,5-benzol-trimethanamin (**15**) zeigte die obigen antiaggregatorischen und anticoagulanten Effekte in der gleichen Konzentration von 25 µmol/L.

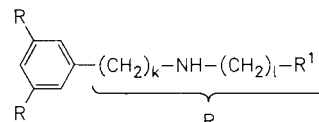
### Platelet Aggregation Inhibiting and Anticoagulant Effects of Oligoamines, VII: Benzene-1,3,5-trialkanamines

Seventeen title compounds were synthesized. Platelet aggregation induced by collagen *in vitro* is inhibited by 9 of them at  $IC_{50} = 2\text{--}4 \mu\text{mol/L}$ . Seven compounds depress the formation of fibrin to ≤ 25 % of normal in concentrations below 50 µmol/L. Compound **15** [4-(2-thienylbutyl)benzene-1,3,5-trimethanamine] is the first oligoamine which shows anticoagulant and antiplatelet effects at the same concentration (25 µmol/L).

Kürzlich haben wir berichtet, daß sich die gerinnungsphysiologischen Wirkungen von Cyclohexandimethanaminen<sup>1)</sup> durch Einführung einer dritten Aminomethylgruppe steigern lassen. Wir haben nun geprüft, ob sich dieser an einem alicyclischen System erhobene Befund auch auf aromatische Systeme übertragen läßt. Zu diesem Zweck haben wir die in Tab. 1 aufgelisteten Oligoamine synthetisiert. Alle Benzoltrimethanamine ( $k = 1$ ) wurden durch Umsetzung von Benzoltricarbonsäurechlorid mit geeigneten Aminen zu den entspr. Amiden und anschließende Reduktion mit  $\text{POCl}_3/\text{NaBH}_4$  erhalten. Zur Darstellung der Triethanamine ( $k = 2$ ) wurde zunächst aus 1,3,5-Triacetylbenzol durch eine *Willgerodt*-Redaktion Benzol-1,3,5-trisägsäure dargestellt<sup>3)</sup>. Über das Trisäurechlorid und dessen Umsetzung mit geeigneten Aminen wurden die entspr. Triamide erhalten, die mit  $\text{LiAlH}_4$  zu den gewünschten Zielverbindungen reduziert wurden. Die zur Darstellung der Benzol-1,3,5-tripropanamine ( $k = 3$ ) erforderliche Benzol-tripropionsäure wurde nach *Cochrane et al.*<sup>4)</sup> dargestellt und weiter verarbeitet, wie für die Triethanamine beschrieben.

Die gerinnungsphysiologischen Effekte von **1–17** sind in Tab. 1 zusammengefaßt. Man erkennt zunächst, daß erwartungsgemäß die dargestellten Triamine die durch Collagen induzierte Thrombocytenaggregation stark hemmen. Die zur halbmaximalen Hemmung erforderliche Konzentration ist bei 17 Substanzen < 10 µmol/L. Auch die

Fibrinbildung wird stark inhibiert. Teilweise beträgt schon bei 25 µmol/L (z. B. **15**) die Gerinnungsfähigkeit von Blutplasma weniger als 25 % der Norm, wie die Verlängerungen der Thromboplastin- bzw. der partiellen Thromboplastinzeit um mehr als 7 s zeigen.



**Tab. 1:** Gerinnungsphysiologische Aktivitäten der Oligoamine **1–17**  
(n.g. = nicht geprüft)

Nr.	k	l	R <sup>1</sup>	IC <sub>50</sub> [µmol/L]	Quick c [µmol/L]	PTT Δt [s]
1	1	2	Phenyl	11	400/28	400/39
2	1	3	Phenyl	3	50/18	100/12
3	1	4	Phenyl	3	50/12	100/12
4	1	5	Phenyl	3	100/9	200/14
5	1	6	Phenyl	6	400/12	200/36
6	1	7	Phenyl	> 30	n.g.	n.g.
7	1	2	4-Chlorphenyl	3	200/20	400/5
8	1	3	4-Chlorphenyl	6	50/11	100/39
9	1	4	4-Chlorphenyl	3	100/10	100/7
10	1	4	4-Methoxyphenyl	6	50/10	n.g.
11	1	4	3,4-Dimethoxyphenyl	3	100/10	25/12
12	2	4	Phenyl	2	25/7	50/11
13	3	4	Phenyl	4	100/8	n.g.
14	2	4	3,4-Dimethoxyphenyl	7	50/8	50/35
15	1	4	2-Thienyl	11	25/7	25/10
16	2	4	2-Thienyl	3	400/10	50/23
17	1	2	Phenylthio	60	100/7	400/35

Im einzelnen zeigt der Vergleich von **1–6**, daß der Einfluß auf die Thrombocytenaggregation deutlich von der Zahl der Methylengruppen zwischen N und R<sup>1</sup> abhängt. Hier erweisen sich 3–5 Methylgruppen als optimal. Ähnliches gilt für die Hemmung der Fibrinbildung, für die 3–4 Methylengruppen benötigt werden. In Anlehnung an das *Topliss*-Modell wurde dann der Einfluß der I- und M-Effekte von Substituenten durch Prüfung von Chlorphenyl- (**7–9**) bzw. Methoxyphenylverbindungen (**10, 11**) vorgenommen. Man erkennt bei **7**, daß im Falle der Chlorsubstitution bereits zwei Methylengruppen zwischen N und R<sup>1</sup> für optimale Wirkung auf Thrombocyten ausreichen. Die Einführung der Methoxygruppen führt nur zu geringen Veränderungen, wie der Vergleich von **10** und **11** mit **3** zeigt. Die Vergrößerung des Abstandes zwischen aromatischer Brücke und Aminogruppen zeigt ein Optimum bei zwei Methylengruppen (**12**). Auch hier bringt die zusätzliche Einführung von Methoxygruppen (**14**) keine weitere Verbesserung. Der Vergleich von **3** mit **15** zeigt, daß in R<sup>1</sup> der Phenylrest bezüglich der anticoagulanten Eigenschaften vollwertig durch einen 2-Thienylrest ersetzt werden kann, während gleichzeitig die Wirkung auf Thrombocyten abgeschwächt wird. Wir erhielten hier erstmals eine Verbindung (**15**), bei der antiaggregatorische und anticoagulante Effekte in nahezu gleichen Konzentrationen erzielt werden. Der Vergleich von

**15** mit **16** zeigt, daß bezüglich der Thrombocytenwirkung durch Vergrößerung von **k** eine leichte Verbesserung zu verzeichnen ist. Der Vergleich von **2** mit **17** zeigt, daß der Ersatz einer Methylengruppe durch einen Thioether zu drastischem Wirkungsabfall führt.

## Experimenteller Teil

**Geräte:** Schmelzpunkte: Mettler FP-1 (unkorr.), Temp.-Anstieg 2°/min. – Elementaranalysen: Perkin-Elmer Elementaranalysator 240 B und 240 C. – IR-Spektren: Perkin-Elmer Spectralphotometer 297 und 1420 mit DS 7300. – <sup>1</sup>H-NMR-Spektren: Bruker WP 60 und WM 250. – Massenspektren: Varian MAT CH 7 A (70 eV).

**Allgemeine Angaben:** Die Ausbeuten beziehen sich auf die letzte Stufe: Reduktion von Amid zum Amin. Die <sup>1</sup>H-NMR-Spektren wurden, wenn nicht anders angegeben, bei 60 MHz aufgenommen.

### *N,N',N"-Tris(-2-phenylethyl)-1,3,5-benzoltrimethanamin-trihydrochlorid (1)*

Farblose Kristalle (EtOH/Ether), Schmp. > 300° (Zers.). Ausb. 20 % d. Th. – C<sub>33</sub>H<sub>39</sub>N<sub>3</sub>·3 HCl·H<sub>2</sub>O (605.1) Ber. C 65.5 H 7.33 N 6.9 Gef. 65.3 H 7.16 N 6.9. – IR (KBr): 3430, 2940, 2780, 2610, 2410, 1605, 1560, 1500, 1455, 1040, 1030, 875, 755, 705 cm<sup>-1</sup>. – <sup>1</sup>H-NMR ([D<sub>6</sub>]DMSO): δ (ppm) = 9.6 (bs, austauschb., 6H, NH<sub>2</sub>), 7.79 (s, 3H, aromat.), 7.32 (m, 15H, aromat.), 4.25 (m, 6H, Ar-CH<sub>2</sub>-NH<sub>2</sub>), 3.45 (m, 6H, NH<sub>2</sub>-CH<sub>2</sub>-CH<sub>2</sub>), 3.14 (m, 6H, Ph-CH<sub>2</sub>). – MS (200°): m/z = 477 (< 1 %, M<sup>+</sup>), 387 (95), 386 (100), 384 (90), 357 (45), 355 (25), 294 (20), 265 (60), 238 (60), 236 (90), 219 (60), 207 (25), 173 (70), 148 (65), 146 (72), 132 (30), 131 (27), 119 (80), 118 (75), 117 (76), 115 (40), 105 (75), 91 (74).

### *N,N',N"-Tris-(3-phenylpropyl)-1,3,5-benzoltrimethanamin-trihydrochlorid (2)*

Feine, farblose Nadeln (EtOH), Schmp. > 300° (Zers.) Ausb. 55 % d. Th. – C<sub>36</sub>H<sub>45</sub>N<sub>3</sub>·3 HCl (629.2) Ber. C 68.7 H 7.69 N 6.7 Gef. C 68.6 H 7.83 N 6.7. – IR (KBr): 3420, 2940, 2780, 2420, 1580, 1495, 1450, 1425, 1030, 750, 720, 700 cm<sup>-1</sup>. – <sup>1</sup>H-NMR ([D<sub>6</sub>]DMSO): δ (ppm) = 9.4 (bs, austauschb., 6H, NH<sub>2</sub>), 7.8 (s, 3H, aromat.), 7.24 (m, 15H, aromat.), 4.33 (m, 6H, Ar-CH<sub>2</sub>-NH<sub>2</sub>), 3.1–2.5 (m, 12H, Ph-CH<sub>2</sub>-CH<sub>2</sub>-CH<sub>2</sub>), 2.0 (m, 6H, CH<sub>2</sub>-CH<sub>2</sub>-CH<sub>2</sub>). – MS (130°): m/z = 519 (40 %, M<sup>+</sup>), 414 (100), 386 (63), 384 (48), 252 (21), 251 (23), 250 (37), 146 (20), 119 (60), 118 (48).

### *N,N',N"-Tris-(4-phenylbutyl)-1,3,5-benzoltrimethanamin-trihydrochlorid (3)*

Farblose Kristalle (Ether/EtOH), Schmp. > 300° (Zers.) Ausb. 25 % d. Th. – C<sub>39</sub>H<sub>51</sub>N<sub>3</sub>·3 HCl (671.2) Ber. C 69.8 H 8.11 N 6.3 Gef. C 69.8 H 8.37 N 6.2. – IR (KBr): 2940, 2770, 2420, 1585, 1500, 1400, 1030, 745, 720, 700 cm<sup>-1</sup>. – <sup>1</sup>H-NMR-250 MHz ([D<sub>6</sub>]DMSO): δ (ppm) = 9.6 (bs, austauschb., 6H, NH<sub>2</sub>), 7.80 (s, 3H, aromat.), 7.4 – 7.2 (m, 15H, aromat.), 4.11 (m, 6H, Ar-CH<sub>2</sub>-NH<sub>2</sub>), 2.9 (m, 6H, NH<sub>2</sub>-CH<sub>2</sub>-CH<sub>2</sub>), 2.57 (t, J = 7 Hz, 6H, Ph-CH<sub>2</sub>), 1.8–1.5 (m, 12H, aliphat.). – MS (170°): m/z = 561 (68 %, M<sup>+</sup>), 442 (100), 428 (21), 414 (55), 412 (63), 264 (52), 146 (21), 119 (68), 118 (47), 117 (53), 105 (27), 91 (73).

### *N,N',N"-Tris-(5-phenylpentyl)-1,3,5-benzoltrimethanamin-trihydrochlorid (4)*

Farblose Kristalle (Ether/EtOH), Schmp. > 300° (Zers.) Ausb. 30 % d. Th. – C<sub>42</sub>H<sub>55</sub>N<sub>3</sub>·3 HCl (713.3) Ber. C 70.7 H 8.48 N 5.9 Gef. C 70.5 H 8.86 N 5.8. – IR (KBr): 3430, 2930, 2860, 2790, 2580, 2440, 2400, 1600, 1580, 1500, 1450, 1030, 890, 745, 700 cm<sup>-1</sup>. – <sup>1</sup>H-NMR ([D<sub>6</sub>]DMSO): δ (ppm) = 9.5 (bs, austauschb., 6H, NH<sub>2</sub>), 7.74 (s, 3H, aromat.), 7.21 (m, 15H, aromat.), 4.1 (m, 6H, Ar-CH<sub>2</sub>-NH<sub>2</sub>), 2.9–2.5 (m, 12H, NH<sub>2</sub>-CH<sub>2</sub>-CH<sub>2</sub>, Ph-CH<sub>2</sub>), 1.9–1.1 (m, 12H, aliphat.). – MS (160°): m/z = 603 (31 %, M<sup>+</sup>), 470 (80), 442 (59), 440 (39), 278 (44), 119 (71), 117 (45), 105 (22), 91 (100).

*N,N',N"-Tris-(6-phenylhexyl)-1,3,5-benzoltrimethanamin-trihydrochlorid (5)*

Farbloses Pulver (Ether/EtOH), hygroskopisch, Schmp. > 300° (Zers.) Ausb. 30 % d. Th. – C<sub>45</sub>H<sub>63</sub>N<sub>3</sub>·3 HCl·0.5 H<sub>2</sub>O (764.4) Ber. C 70.7 H 8.83 N 5.5 Gef. C 70.4 H 8.89 N 5.4. – IR (KBr): 2930, 2860, 2760, 2590, 2420, 1590, 1495, 1455, 1030, 745, 700 cm<sup>-1</sup>. – <sup>1</sup>H-NMR ([D<sub>6</sub>]DMSO): δ (ppm) = 9.5 (bs, austauschb., 6H, NH<sub>2</sub>), 7.71 (s, 3H, aromat.), 7.21 (m, 15H, aromat.), 4.14 (m, 6H, Ar-CH<sub>2</sub>-NH<sub>2</sub>), 3.0–2.4 (m, 12H, NH<sub>2</sub>-CH<sub>2</sub>-CH<sub>2</sub>, Ph-CH<sub>2</sub>), 1.8–1.1 (m, 12H, aliphat.). – MS (200°): m/z = 645 (19 %, M<sup>+</sup>), 498 (44), 470 (25), 292 (22), 119 (53), 117 (28), 91 (100).

*N,N',N"-Tris-(7-phenylheptyl)-1,3,5-benzoltrimethanamin-trihydrochlorid (6)*

Farbloses Pulver (EtOH/Ether), Schmp. > 300° (Zers.) Ausb. 20 % d. Th. – C<sub>48</sub>H<sub>69</sub>N<sub>3</sub>·3 HCl (797.5) Ber. C 72.3 H 9.10 N 5.3 Gef. C 72.1 H 9.47 N 5.4. – IR (KBr): 3420, 2920, 2850, 2780, 2580, 2420, 1600, 1580, 1490, 1450, 1030, 875, 740, 695 cm<sup>-1</sup>. – <sup>1</sup>H-NMR ([D<sub>6</sub>]DMSO): δ (ppm) = 9.5 (bs, austauschb., 6H, NH<sub>2</sub>), 7.83 (s, 3H, aromat.), 7.26 (m, 15H, aromat.), 4.2 (m, 6H, Ar-CH<sub>2</sub>-NH<sub>2</sub>), 2.9–2.4 (m, 12H, NH<sub>2</sub>-CH<sub>2</sub>-CH<sub>2</sub>, Ph-CH<sub>2</sub>), 1.9–1.1 (m, 12H, aliphat.). – MS (180°): m/z = 687 (46 %, M<sup>+</sup>), 526 (100), 498 (48), 496 (52), 306 (51), 119 (90), 91 (58).

*N,N',N"-Tris-[2-(4-chlorphenyl)-ethyl]-1,3,5-benzoltrimethanamin-trihydrochlorid (7)*

Farblose Kristalle (EtOH/Ether), Schmp. > 300° (Zers.) Ausb. 30 % d. Th. – C<sub>33</sub>H<sub>36</sub>Cl<sub>3</sub>N<sub>3</sub>·3 HCl (690.4) Ber. C 57.4 H 5.69 N 6.1 Gef. C 57.4 H 5.82 N 6.1. – IR (KBr): 3420, 2940, 2750, 2620, 2440, 1600, 1590, 1495, 1450, 1410, 1380, 1110, 1090, 1015, 820, 805, 710, 665 cm<sup>-1</sup>. – <sup>1</sup>H-NMR ([D<sub>6</sub>]DMSO): δ (ppm) = 9.5 (bs, austauschb., 6H, NH<sub>2</sub>), 7.83 (s, 3H, aromat.), 7.31 (m, 12H, aromat.), 4.16 (m, 6H, Ar-CH<sub>2</sub>-NH<sub>2</sub>), 3.08 (m, 12H, aliphat.). – MS (180°): m/z = 579 (< 1 %, M<sup>+</sup>, <sup>35</sup>Cl), 456 (74), 454 (100), 272 (25), 270 (31), 146 (21).

*N,N',N"-Tris-[3-(4-chlorphenyl)-propyl]-1,3,5-benzoltrimethanamin-trihydrochlorid (8)*

Farbloses hygroskopisches Pulver (Aceton/Ether), Schmp. > 300° (Zers.). Ausb. 40 % d. Th. – C<sub>36</sub>H<sub>42</sub>Cl<sub>3</sub>N<sub>3</sub>·3 HCl (732.5) Ber. C 59.0 H 6.19 N 5.7 Gef. C 58.6 H 6.30 N 5.6. – IR (KBr): 3420, 2930, 2750, 2410, 1580, 1490, 1445, 1405, 1090, 1015, 880, 800, 710, 660 cm<sup>-1</sup>. – <sup>1</sup>H-NMR ([D<sub>6</sub>]DMSO): δ (ppm) = 9.5 (bs, austauschb., 6H, NH<sub>2</sub>), 7.83 (s, 3H, aromat.), 7.3 (m, 12H, aromat.), 4.05 (m, 6H, Ar-CH<sub>2</sub>-NH<sub>2</sub>), 3.0–2.4 (m, 12H, NH<sub>2</sub>-CH<sub>2</sub>-CH<sub>2</sub>, Ph-CH<sub>2</sub>), 2.2–1.8 (m, 6H, aliphat.). – MS (140°): m/z = 621 (3 %, M<sup>+</sup>, <sup>35</sup>Cl), 482 (28), 333 (21), 331 (59), 135 (100), 127 (20), 125 (56), 119 (72), 117 (90), 115 (41), 91 (69).

*N,N',N"-Tris-[4-(4-chlorphenyl)-butyl]-1,3,5-benzoltrimethanamin-trihydrochlorid (9)*

Weiβes Pulver (Aceton/Ether), Schmp. > 300° (Zers.), Ausb. 30 % d. Th. – C<sub>39</sub>H<sub>48</sub>Cl<sub>3</sub>N<sub>3</sub>·2.7 HCl (763.3) Ber. C 61.3 H 6.69 N 5.5 Gef. C 61.4 H 6.92 N 5.5. – IR (KBr): 3420, 2940, 2760, 2420, 1600–1560, 1495, 1455, 1095, 1035, 1020, 835, 750, 720, 700, 665 cm<sup>-1</sup>. – <sup>1</sup>H-NMR ([D<sub>6</sub>]DMSO): δ (ppm) = 9.5 (bs, austauschb., 6H, NH<sub>2</sub>), 7.82 (s, 3H, aromat.), 7.26 (m, 12H, aromat.), 4.11 (m, 6H, Ar-CH<sub>2</sub>-NH<sub>2</sub>), 3.0–2.3 (m, 12H, NH<sub>2</sub>-CH<sub>2</sub>-CH<sub>2</sub>, Ph-CH<sub>2</sub>), 1.6 (12H, aliphat.). – MS (200°): m/z = 663 (11 %, M<sup>+</sup>, <sup>35</sup>Cl), 512 (37), 510 (53), 482 (24), 476 (40), 300 (22), 298 (26), 183 (21), 146 (24), 138 (21), 127 (26), 125 (82), 119 (100), 117 (65), 115 (30), 105 (20), 91 (76).

*N,N',N"-Tris/[4-(4-methoxyphenyl)-butyl]-1,3,5-benzoltrimethanamin-trihydrochlorid (10)*

Weiβes Pulver (EtOH/Ether), Schmp. > 300° (Zers.) Ausb. 30 % d. Th. – C<sub>42</sub>H<sub>57</sub>N<sub>3</sub>O<sub>3</sub>·3 HCl (761.3) Ber. C 66.3 H 7.94 N 5.5 Gef. C 66.1 H 8.12 N 5.5. – IR (KBr): 2930, 2760, 2410, 1610, 1580, 1510, 1450, 1300, 1250, 1175, 1115, 1030, 830, 810, 715 cm<sup>-1</sup>. – <sup>1</sup>H-NMR ([D<sub>6</sub>]DMSO): δ (ppm) = 9.5 (bs, austauschb., 6H, NH<sub>2</sub>), 7.82 (s, 3H, aromat.), 7.10 (,,d“, J = 8.7 Hz, 6H, H-2”, 6“), 6.78 (,,d“, J = 8.7 Hz,

6H, H-3'', 5''), 4.12 (m, 6H, Ar-CH<sub>2</sub>-NH<sub>2</sub>), 3.70 (s, 9H, OCH<sub>3</sub>), 3.8 (m, 6H, NH<sub>2</sub>-CH<sub>2</sub>-CH<sub>2</sub>), 2.5 (m, 6H, Ar-CH<sub>2</sub>-CH<sub>2</sub>), 1.7 (m, 12H, aliphat.). - MS (220°): m/z = 651 (1 %, M<sup>+</sup>), 179 (24), 134 (51), 121 (81), 81 (92), 79 (100).

#### *N,N',N''-Tris-[4-(3,4-dimethoxyphenyl)-butyl]-1,3,5-benzoltrimethanamin-trihydrochlorid (11)*

Farblose Kristalle (EtOH), Schmp. 200°, Ausb. 35 % d. Th. - C<sub>45</sub>H<sub>63</sub>N<sub>3</sub>O<sub>6</sub>·3 HCl·0.5 H<sub>2</sub>O (860.4) Ber. C 62.8 H 7.85 N 4.9 Gef. C 62.7 H 7.83 N 4.9. - IR (KBr): 3400, 2930, 2750, 2400, 1590, 1510, 1450, 1420, 1260, 1240, 1140, 1030, 810, 760, 710 cm<sup>-1</sup>. - <sup>1</sup>H-NMR-250 MHz (CDCl<sub>3</sub>): δ (ppm) = 9.62 (bs, 6H, NH<sub>2</sub>, austauschb.), 7.94 (s, 3H, aromat.), 6.7-6.6 (m, 9H, aromat.), 3.85 (m, 6H, Ar-CH<sub>2</sub>-NH<sub>2</sub>), 3.78 (s, 9H, OCH<sub>3</sub>), 3.75 (s, 9H, OCH<sub>3</sub>), 2.97 (m, 6H, NH<sub>2</sub>-CH<sub>2</sub>-CH<sub>2</sub>), 2.50 (t, J = 7.5 Hz, 6H, Ph-CH<sub>2</sub>), 1.87 (m, 6H, NH<sub>2</sub>-CH<sub>2</sub>-CH<sub>2</sub>), 1.62 (m, 6H, CH<sub>2</sub>-CH<sub>2</sub>-Ar). - MS (235°): m/z = 741 (6 %, M<sup>+</sup>), 562 (46), 547 (23), 533 (25), 531 (48), 355 (30), 340 (27), 325 (38), 209 (30), 191 (57), 164 (60), 161 (30), 151 (96), 134 (42), 119 (100), 105 (24), 91 (38), 45 (24).

#### *N,N',N''-Tris-(4-phenylbutyl)-1,3,5-benzoltriethanamin-trihydrochlorid (12)*

Beige Kristalle (EtOH), Schmp. > 300° (Zers.) Ausb. 40 % d. Th. - C<sub>42</sub>H<sub>57</sub>N<sub>3</sub>·3 HCl·0.5 H<sub>2</sub>O (722.3) Ber. C 69.8 H 8.51 N 5.8 Gef. C 70.0 H 8.70 N 5.8. - IR (KBr): 3420, 2930, 2760, 2430, 1600, 1580, 1490, 1450, 1025, 790, 695 cm<sup>-1</sup>. - <sup>1</sup>H-NMR ([D<sub>6</sub>]DMSO): δ (ppm) 9.1 (bs, austauschb. 6H, NH<sub>2</sub>), 7.2-7.1 (m, 18H, aromat.), 3.2-2.2 (m, 24H), 1.7 (m, 12H, aliphat.). - MS (250°): m/z = 603 (1 %, M<sup>+</sup>), 442 (100), 162 (50), 91 (30), 44 (25).

#### *N,N',N''-Tris-(4-phenylbutyl)-1,3,5-benzoltripropanamin-trihydrochlorid (13)*

Weisse Kristalle (EtOH), Schmp. > 300° (Zers.), Ausb. 60 % d. Th. - C<sub>45</sub>H<sub>63</sub>N<sub>3</sub>·3 HCl (755.4) Ber. C 71.6 H 8.81 N 5.6 Gef. C 71.3 H 9.02 N 5.5. - IR (KBr): 3420, 2930, 2770, 2420, 1600, 1490, 1450, 1030, 745, 695 cm<sup>-1</sup>. - <sup>1</sup>H-NMR-270 MHz ([D<sub>6</sub>]DMSO): δ (ppm) = 8.9 (bs, austauschb., 6H, NH<sub>2</sub>), 7.25-7.1 (m, 15H, aromat.), 6.85 (s, 3H, aromat.), 2.85 (m, 12H, CH<sub>2</sub>-NH<sub>2</sub>-CH<sub>2</sub>), 2.48 (m, 12H, Ar-CH<sub>2</sub>, Ph-CH<sub>2</sub>), 1.95 (m, 6H, Ar-CH<sub>2</sub>-CH<sub>2</sub>-CH<sub>2</sub>), 1.6 (m, 12H, Ph-CH<sub>2</sub>-CH<sub>2</sub>-CH<sub>2</sub>). - MS (Varian MAT 711, 200°): m/z = 645 (3 %, M<sup>+</sup>), 526 (24), 484 (22), 483 (56), 471 (23), 470 (62), 162 (39), 131 (36), 91 (100).

#### *N,N',N''-Tris-[4-(3,4-dimethoxyphenyl)-butyl]-1,3,5-benzoltriethanamin-trihydrochlorid (14)*

Farblose Kristalle (EtOH/Ether), Schmp. > 300° (Zers.), Ausb. 10 % d. Th. - C<sub>48</sub>H<sub>69</sub>N<sub>3</sub>O<sub>6</sub>·3 HCl·H<sub>2</sub>O (911.5) Ber. C 63.3 H 8.18 N 4.6 Gef. C 63.6 H 8.17 N 4.6. - IR (KBr): 3400, 2930, 2760, 2430, 1600, 1590, 1510, 1450, 1410, 1260, 1230, 1150, 1140, 1030, 850, 800, 760 cm<sup>-1</sup>. - <sup>1</sup>H-NMR-250 MHz (CDCl<sub>3</sub>): δ (ppm) = 8.79 (bs, austauschb., 6H, NH<sub>2</sub>), 7.54 (s, 3H, aromat.), 6.8-6.6 (m, 9H, aromat.), 3.82 (s, 18H, OCH<sub>3</sub>), 3.27 (m, 6H, Ar-CH<sub>2</sub>-CH<sub>2</sub>-NH<sub>2</sub>), 3.18 (m, 6H, NH<sub>2</sub>-CH<sub>2</sub>-CH<sub>2</sub>-CH<sub>2</sub>), 2.94 (m, 6H, Ar-CH<sub>2</sub>), 2.55 (t, J = 7 Hz, Ar-CH<sub>2</sub>-CH<sub>2</sub>-CH<sub>2</sub>), 1.94 (m, 6H, aliphat.), 1.61 (m, 6H, aliphat.). - MS (250°): m/z = 783 (2 %, M<sup>+</sup>), 562 (30), 341 (27), 236 (58), 222 (75), 193 (25), 192 (24), 191 (57), 164 (24), 161 (23), 160 (20), 151 (100), 121 (38), 107 (24), 106 (27), 105 (20), 91 (67), 77 (25), 70 (30), 58 (50), 44 (32).

#### *N,N',N''-Tris/[4-(2-thienyl)-butyl]-1,3,5-benzoltrimethanamin-trihydrochlorid (15)*

Farblose Kristalle (CHCl<sub>3</sub>/Ether), Schmp. 245°, Ausb. 20 % d. Th. - C<sub>33</sub>H<sub>45</sub>N<sub>3</sub>S<sub>3</sub>·3 HCl·0.5 H<sub>2</sub>O (698.3) Ber. C 56.8 H 7.07 N 6.0 Gef. C 56.9 H 7.03 N 6.1. - IR (KBr): 3400, 2940, 2780, 2420, 1590, 1450, 1030, 850, 820, 690 cm<sup>-1</sup>. - <sup>1</sup>H-NMR-250 MHz ([D<sub>6</sub>]DMSO): δ (ppm) = 9.6 (bs, 6H, NH<sub>2</sub>, austauschb.), 7.81 (s, 3H, aromat.), 7.30 (d, J = 5 Hz, 3H, H-5-thienyl), 6.93 (dd, J = 5/3 Hz, 3H, H-4-thienyl), 6.86 (d, J = 3 Hz, 3H, H-3-thienyl), 4.10 (bs, 6H, Ar-CH<sub>2</sub>-NH<sub>2</sub>), 2.90 (m, 6H, NH<sub>2</sub>-CH<sub>2</sub>-CH<sub>2</sub>).

2.80 (t, J = 7 Hz, 6H, thiaryl-CH<sub>2</sub>), 1.7 (m, 12H, aliphat). – MS (210°): m/z = 579 (18 %, M<sup>+</sup>), 454 (20), 424 (46), 137 (48), 119 (46), 118 (36), 117 (38), 97 (100), 91 (38).

*N,N'-N''-Tris-[4-(2-thienyl)-butyl]-1,3,5-benzoltrianamin-trihydrochlorid (16)*

Farblose Kristalle (EtOH), Schmp. > 300° (Zers.). Ausb. 40 % d. Th. – C<sub>36</sub>H<sub>51</sub>N<sub>3</sub>S<sub>3</sub>·3 HCl·0.5 H<sub>2</sub>O (740,4) Ber. C 58,4 H 7,49 N 5,7 Gef. C 58,5 H 7,44 N 5,9. – IR (KBr): 3400, 2940, 2790, 2430, 1600, 1440, 1240, 850, 820, 690 cm<sup>-1</sup>. – <sup>1</sup>H-NMR-250 MHz (CDCl<sub>3</sub>): δ (ppm) = 8.75 (bs, 6H, NH<sub>2</sub>, austauschb.), 7.50 (s, 3H, aromat.), 7.05 (dd, J = 5/1 Hz, 3H, H-5-thienyl), 6.88 (dd, J = 5/3 Hz, 3H, H-4-thienyl), 6.76 (d, J = 3 Hz, 3H, H-3-thienyl), 3.25 (m, 6H, Ar-CH<sub>2</sub>-CH<sub>2</sub>-NH<sub>2</sub>), 3.16 (m, 6H, NH<sub>2</sub>-CH<sub>2</sub>-CH<sub>2</sub>-CH<sub>2</sub>), 2.93 (m, 6H, Ar-CH<sub>2</sub>), 2.82 (t, J = 7 Hz, 6H, thiaryl-CH<sub>2</sub>), 1.95 (m, 6H, NH<sub>2</sub>-CH<sub>2</sub>-CH<sub>2</sub>-CH<sub>2</sub>), 1.69 (m, 6H, CH<sub>2</sub>-CH<sub>2</sub>-thienyl). – MS (250°): m/z = 621 (3 %, M<sup>+</sup>), 454 (52), 301 (21), 287 (62), 168 (100), 137 (22), 110 (27), 97 (100), 70 (47), 44 (75).

*N,N',N''-Tris-[2-(phenylmercapto)-ethyl]-1,3,5-benzoltrimethanamin-trihydrochlorid (17)*

Farblose Kristalle (EtOH), Schmp. 203°, Ausb. 30 % d. Th. – C<sub>33</sub>H<sub>39</sub>N<sub>3</sub>S<sub>3</sub>·3 HCl (683,3) Ber. C 58,0 H 6,20 N 6,2 Gef. C 57,7 H 6,49 N 6,1. – IR (KBr): 3400, 2920, 2740, 1580, 1450, 1060, 1020, 740, 690 cm<sup>-1</sup>. – <sup>1</sup>H-NMR-250 MHz (CD<sub>3</sub>OD/DMSO): δ (ppm) = 9.88 (bs, 6H, NH<sub>2</sub>, austauschb.), 7.79 (s, 3H, aromat.), 7.5–7.2 (m, 15H, aromat.), 4.17 (m, 6H, Ar-CH<sub>2</sub>-NH<sub>2</sub>), 3.32 (m, 6H, NH<sub>2</sub>-CH<sub>2</sub>-CH<sub>2</sub>), 3.10 (m, CH<sub>2</sub>-S). – MS (250°): m/z = 573 (2 %, M<sup>+</sup>), 451 (30), 450 (100), 137 (62), 119 (24), 118 (20), 117 (22), 109 (22).

## Literatur

- 1 K. Rehse, A. Carstensen und H.-J. Ernst, Arch. Pharm. (Weinheim) 320, 829 (1987).
- 2 M. Kuehne und P. J. Shannon, J. Org. Chem. 42, 2082 (1977).
- 3 M. S. Newman und H. S. Lowrie, J. Am. Chem. Soc. 76, 6196 (1954).
- 4 W. P. Cochrane, P. L. Pauson und T. S. Stevens, J. Chem. Soc. 1968, 630.

[Ph 318]

Arch. Pharm. (Weinheim) 320, 1238–1245 (1987)

## Photochemische Reaktivität von 5-Desazaflaviniumsalzen und 5-Desazaflavinen – ein Vergleich

Hans-Jürgen Duchstein\*, Helmut Fenner und Werner Bauch

Pharmazeutisches Institut, Freie Universität Berlin, Königin-Luise Str. 2–4, D-1000 Berlin 33  
Eingegangen am 31. März 1987

Die photochemische Reaktivität der Titelverbindungen **3** wurde untersucht und mit 5-Desazaflavinen verglichen<sup>12)</sup>. Dabei zeigte sich eine deutliche Ähnlichkeit zwischen diesen beiden Reihen, aber die Flavinanalogie ist bei den Verbindungen vom Typ **3a** im Gegensatz zu 5-Desazaflavinen noch weiter abgeschwächt. Sie verhalten sich vielmehr nikotinamidanalog, was auf Grund der Strukturähnlichkeit zu erwarten war.